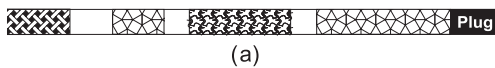


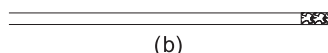
بیشتر از C (۶۶ درصد)، (P<۰/۰۵) و OPS (۶۲ درصد)، (P<۰/۰۱) بود. گروه انجمادی C و OPS اختلاف معنی‌داری با یکدیگر نداشتند (نمودار ۱).

اثر انجماد بر میزان تکوین جنینها * ۲۴ ساعت اول کشت

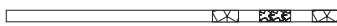
میزان کلیواژ به مرحله ۸-۴ سلولی در گروه کنترل با گروه‌های OPS، C و CPS تقریباً یکسان بود. اما میزان تکوین به مورولا در گروه‌های مختلف انجمادی به طور معنی‌داری پایین‌تر از کنترل بود، به ترتیب (۰ درصد، ۰ درصد، ۰ درصد در مقابل ۵ درصد) تعداد جنینهای دژنره نیز در گروه‌های انجمادی C (۲۲ درصد) و OPS (۲۳ درصد) به طور معنی‌داری بیشتر از کنترل (۱۱ درصد) بود، به ترتیب (p<۰/۰۵) و (p<۰/۰۱). گروه CPS اختلاف معنی‌داری با کنترل نداشت.



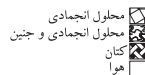
(a)



(b)



(c)



شکل ۱: a: طریقهٔ پر کردن نی انجماد به روش معمولی، b: طریقهٔ پر کردن نی انجماد به روش OPS (نی کشیدهٔ باز)، c: طریقهٔ پر کردن نی انجماد به روش CPS (نی کشیدهٔ بسته).

انجماد و ذوب به طریقهٔ CPS

در این روش، نی OPS به ترتیب با ۲ میلی‌متر محیط انجمادی، ۲ میلی‌متر هوا، ۲ میلی‌متر محیط انجمادی حاوی جنین، ۲ میلی‌متر هوا و ۲ میلی‌متر محیط انجمادی پر شده (شکل ۱c) و به سرعت وارد تانک نیتروژن مایع شد. برای ذوب، انتهای نی توسط انگشت نشانه بسته شده و محتوی نی در ۴۰۰ میکرو لیتر محلول سوکروز ۰/۵ مولار قرار گرفت، سپس مراحل ذوب و انکوباسیون انجام شد و جنینها به مدت ۱۲۰ ساعت مطالعه شدند (۱۰).

مطالعه جنینها

در گروه کنترل، بلافاصله پس از به دست آوردن جنینهای دو سلولی، جنینهای با ظاهر طبیعی را در محیط کشت HTF در داخل انکوباتور با ۵ درصد CO₂ کشت داده و هر ۲۴ ساعت از مراحل تکوین جنینها و تعداد جنینهای دژنره گزارش تهیه شد.

در گروه‌های انجمادی، پس از انجماد و ذوب جنینها، آنها را چندین بار در محیط کشت شستشو داده، سپس توسط میکروسکوپ معکوس جنینهای زنده مشخص و کشت شد. هر ۲۴ ساعت از مراحل تکوین آنها گزارش تهیه شد.

جنینهای دارای غشاء پلاسمایی، لایه زونا و بلاستومرهای سالم با سیتوپلاسم انکساری، زنده تلقی شدند. در تمام موارد از تست χ^2 به عنوان آزمون آماری استفاده شد و سطح معنی‌دار بودن P<۰/۰۵ در نظر گرفته شد.

یافته‌ها

اثر انجماد بر میزان بقا جنینها

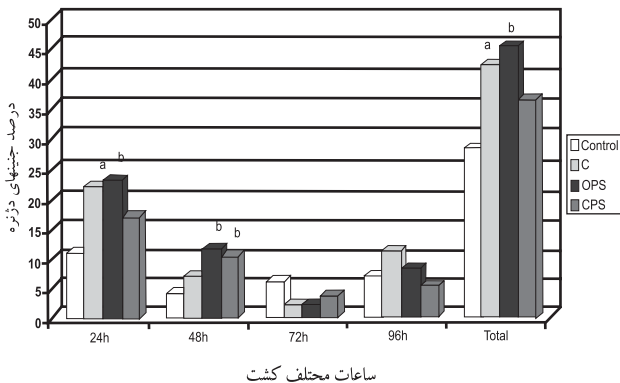
در این مطالعه تعداد ۱۹۴ جنین دو سلولی در گروه کنترل و ۴۶۵ جنین دو سلولی با روشهای مختلف منجمد شدند، C (۱۶۰)، OPS (۱۵۰) و CPS (۱۵۵). نتایج نشان داد که در گروه CPS درصد بقا جنینها پس از ذوب (۷۶ درصد) به طور معنی‌داری

جدول ۱: مقایسه تکوین جنینهای دو سلولی پس از به کار گیری روشهای مختلف انجماد شیشه‌ای (C, OPS, CPS) و ۱۲۰ ساعت کشت

تیمار	تعداد	۲۴ ساعت		۴۸ ساعت		۹۶ تا ۱۲۰ ساعت		
		۴ تا ۸ سلولی	مورولا	مورولا و بلاستوسیت اولیه	بلاستوسیت انتهایی	بلاستوسیت وسیع شده	بلاستوسیت در حال خروج از زونا	بلاستوسیت خارج شده از زونا
کنترل	۱۹۴ (%)	۱۶۳ (۸۴)	۹ (۵)	۱۵۰ (۷۷)	۱۵ (۸)	۹۷ (۵۰)	۲۴ (۲۲)	۱۴۰ (۷۲)
C	۱۰۵ (%)	۸۲ (۷۸)	۰ a	۷۴ (۷۰)	۱ a	۳۴ b	۱۲ a	۶۱ (۵۸) a
OPS	۹۶ (%)	۷۴ (۷۷)	۰ a	۶۲ a	۱ a	۲۵ a	۱۱ a	۵۳ b
CPS	۱۱۴ (%)	۹۵ (۸۳)	۰ a	۸۰ (۷۰)	۳ (۳)	۴۳ a	۱۷ (۱۵)	۷۳ (۶۴)

C: انجماد با روش معمولی، OPS: انجماد با روش نی کشیده باز، CPS: انجماد با روش نی کشیده بسته، a: مقایسه C, OPS, CPS با کنترل؛ b: P<۰/۰۵، مقایسه C, OPS, CPS با کنترل؛ c: P<۰/۰۱، مقایسه CPS با C؛ P<۰/۰۵.

*** پس از ۴۸ ساعت کشت**



نمودار ۲: مقایسه روزانه درصد جنینهای دژنره موش پس از به کار گیری روشهای مختلف انجماد شیشه‌ای (C, OPS, CPS). C: انجماد شیشه‌ای با روش معمولی، OPS: انجماد شیشه‌ای با روش نی کشیده‌ باز، CPS: انجماد شیشه‌ای با روش نی کشیده بسته. a: مقایسه OPS, OPS, C با CPS با کنترل؛ $P < 0.05$; b: مقایسه OPS, CPS, OPS, C با کنترل $P < 0.01$.

*** پس از ۹۶ تا ۱۲۰ ساعت کشت**

تعداد بلاستوسیت‌های خارج شده از زونا در گروه‌های C (۵۸ درصد) و OPS (۵۵ درصد) به طور معنی داری از گروه کنترل (۷۲ درصد) کمتر بود، به ترتیب ($P < 0.05$) و ($P < 0.01$). اما گروه CPS (۶۴ درصد) اختلاف معنی داری با کنترل نداشت. تعداد جنینهای دژنره نیز در هیچ کدام از روشهای انجمادی اختلاف معنی داری با گروه کنترل نداشت. پس از ۱۲۰ ساعت کشت تعداد کل جنینهای دژنره در گروه C (۴۲ درصد)، OPS (۴۵ درصد) بیشتر از کنترل (۲۸ درصد) بود، به ترتیب ($P < 0.05$) و ($P < 0.01$) اما گروه CPS (۳۶ درصد) اختلاف معنی داری با کنترل نداشت (جدول ۱، نمودار ۲).

بحث

نتایج این پژوهش نشان می‌دهد که درصد بقاء جنینهای دوسلولی پس از فرآیند انجماد شیشه‌ای در روش CPS بیشتر از نی معمولی و OPS است.

نتایج این پژوهش با یافته‌های Chen مطابق است. اثر روشهای مختلف انجماد شیشه‌ای را بر بقاء تخمکهای موش بررسی و گزارش کرد که شانس بقاء تخمکهای موش در روش CPS (۷۹ درصد) و نی معمولی (۷۷ درصد) بیشتر از روش OPS (۶۷ درصد) و استفاده از گریدهای میکروسکوپ الکترونی (۳۴ درصد) است (۱۰).

Lopez جنینهای مرحله مورولا و مراحل مختلف بلاستوسیت خرگوش را با استفاده از روشی مشابه CPS با مخلوطی از ۲۵ درصد گلیسرول و ۲۵ درصد اتیلن گلیکول منجمد کرد. نتایج، میزان بالاتر بقاء را در روش CPS (۸۸/۲ درصد) نسبت به نی معمولی (۷۸/۸ درصد) نشان داد که شبیه نتایج ما است. همچنین بلاستوسیت‌های خرگوش که با روش CPS منجمد شدند میزان مشابهی از تکوین *In vivo* را پس

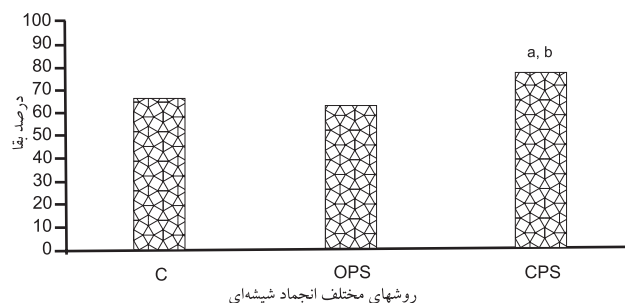
درصد جنینهای مرحله مورولا و بلاستوسیت اولیه، تنها در گروه OPS (۶۵ درصد) به طور معنی داری کمتر از کنترل بود ($P < 0.05$). درصد جنینهایی که به مرحله بلاستوسیت انتهایی رسیده بودند در گروه‌های C (۱ درصد) و OPS (۱ درصد) به طور معنی داری کمتر از کنترل (۸ درصد) بود ($P < 0.05$). در گروه CPS اختلاف معنی داری با گروه کنترل مشاهده نشد. تعداد جنینهای دژنره در گروه OPS (۱۱/۵ درصد) و CPS (۱۰/۵ درصد) به طور معنی داری بیشتر از گروه کنترل (۵ درصد) بود.

*** پس از ۷۲ ساعت کشت**

درصد جنینهای مرحله بلاستوسیت انتهایی در گروه‌های انجمادی C (۲۶ درصد)، OPS (۱۶ درصد) و CPS (۱۵ درصد) به طور معنی داری بیشتر از کنترل (۷ درصد) بود، به ترتیب ($P < 0.01$)، ($P < 0.05$) و ($P < 0.05$) که نشان دهنده تاخیر در رشد جنینهای منجمد شده بود.

مقایسه گروه‌های انجمادی با یکدیگر نشان داد، درصد بلاستوسیت‌های انتهایی در گروه CPS به طور معنی داری کمتر از C بود (۱۵ درصد در برابر ۲۶ درصد، $P < 0.05$). بلاستوسیت‌های وسیع شده در گروه‌های انجمادی C (۳۲ درصد)، OPS (۳۶/۵ درصد) و CPS (۳۸ درصد) به طور معنی داری از کنترل (۵۰ درصد) کمتر بود، به ترتیب ($P < 0.01$)، ($P < 0.05$) و ($P < 0.05$). تعداد بلاستوسیت‌های در حال خروج از زونا (Hatching) در گروه‌های C و OPS به طور معنی داری کمتر از گروه کنترل بود (۱۱ درصد و ۱۱ درصد در برابر ۲۳ درصد، $P < 0.05$)، اما گروه CPS (۱۵ درصد) اختلاف معنی داری با کنترل نداشت.

تعداد جنینهای دژنره در هیچ کدام از گروه‌های انجمادی اختلاف معنی داری با گروه کنترل نداشت.



نمودار ۱: مقایسه درصد بقاء جنینهای دو سلولی موش پس از به کار گیری روشهای مختلف انجماد شیشه‌ای (C, OPS, CPS). C: انجماد شیشه‌ای با روش معمولی، OPS: انجماد شیشه‌ای با روش نی کشیده باز، CPS: انجماد شیشه‌ای با روش نی کشیده بسته. a: مقایسه OPS و CPS؛ $P < 0.05$; b: مقایسه OPS, CPS؛ $P < 0.01$.

از آنجا که آسیب به جنین طی انجماد علاوه بر نوع نی و روش پر کردن آن، بستگی به عوامل مختلفی از جمله نوع ضد یخ به کار رفته، غلظت ضد یخ، مدت زمان و دمای در معرض قرارگیری، دمای انجماد و روش آبدهی دارد (۱۶). در این مطالعه سعی شد، شرایط انجماد برای هر سه روش انجمادی یکسان باشد و فقط تغییرات نوع نی و نحوه پر کردن آن بررسی شود. علایمی از قبیل شکستگی در زونا و جنین پس از ذوب مشاهده نشد که موافق با گزارشات است که انجماد شیشه‌ای آسیب و شکستگی در زونا ایجاد نمی کند (۱۷).

در این مطالعه از اتیلین گلیکول به عنوان ضد یخ استفاده شده است. میزان درصد بقاء جنینها در این مطالعه در مقایسه با برخی مطالعاتی که در آنها از یک ضد یخ دیگر علاوه بر اتیلین گلیکول استفاده شده (۲، ۱۸، ۱۹) یا ترکیبات دیگر ضد یخ به کار رفته (۴، ۶) پایین تر است، اما درصد تکوین جنینها تا مرحله بلاستوسیست بالاتر است. این مسأله احتمالاً به خواص شیمیایی ضد یخ به کار رفته مربوط می شود. اتیلین گلیکول به علت وزن مولکولی پایین نفوذپذیری سریعی دارد، بنابراین به هنگام ذوب به سرعت از سلولها خارج شده و عوارض کمتری بر تکوین جنین می گذارد. نتایج این پژوهش حاکی از آن است که در روش CPS درصد بقاء و تکوین جنینها به مرحله بلاستوسیست در حال خروج از زونا بیشتر از نی معمولی و OPS است، بنابراین به نظر می رسد روش CPS یک راه ساده، مناسب و ارزان برای انجماد جنین دوسلولی موش باشد. روش CPS می تواند به عنوان گزینه‌ای جدید برای انجماد جنین انسان نیز در نظر گرفته شود. البته لازم به ذکر است که برای استفاده از این روش در جنین انسان باید اثرات تخریبی و تغییرات ژنتیکی احتمالی به دقت مورد بررسی قرار گیرد.

تقدیر و تشکر

این مطالعه بخشی از طرح تحقیقاتی مصوب پژوهشکده رویان و دانشگاه آزاد اسلامی به شماره ۱۱۸۶/P/۸۱ است و محل اجرای آن در بخش تحقیقات پژوهشکده رویان بوده است. نویسندگان مراتب تقدیر و تشکر خود را از مساعدتهای صمیمانه مسئولین محترم پژوهشکده رویان ابراز می دارند.



References

1. Rall WF, Fahy GM: Ice-free cryopreservation of mouse embryos at -196°C by vitrification. Nature (London) 1984; 313: 573-575
2. Kasai M, Niwa K, Iritani A: Effects of various cryoprotective agents on the survival of unfrozen and frozen mouse embryos. J Reprod Fert 1981; 63:175-180
3. Nowshahri MA, Brem GJ: Effects of freezing rate and exposure time to cryoprotectant on the development of mouse pronuclear stage embryos. Hum Reprod 2001;

از ذوب نسبت به جنینهای کنترل نشان دادند (۱۱). Kong در مطالعه ای انجماد شیشه‌ای بلاستوسیستهای موش به روش OPS را با میکروپیت شیشه ای مقایسه کرد و نشان داد که میزان بقاء در روش OPS (۹۳/۵ درصد) و روش میکروپیت شیشه‌ای (۹۵ درصد) تفاوت معنی داری ندارد. میزان بلاستوسیست در حال خروج از زونا نیز به ترتیب ۸۸/۷ درصد و ۹۳/۵ درصد بود که تفاوت معنی داری نداشت اما به طور معنی داری از کنترل کمتر بود (۱۲). درصد بالاتر بقاء گزارش شده در این مطالعه نسبت به مطالعه ما احتمالاً به مرحله جنینی به کار رفته است. زیرا مطالعات زیادی نشان داده که انجماد جنین در مرحله بلاستوسیست میزان بالاتری بقاء و تکوین را نسبت به انجماد جنین در مراحل دیگر ایجاد می کند (۱۱، ۱۳).

در این مطالعه، بررسی تکوین جنینها در محیط کشت پس از عمل انجماد و ذوب نشان می دهد که در روش CPS تعداد بلاستوسیستهای در حال خروج از زونا و تعداد جنینهای دژنره پس از ۱۲۰ ساعت کشت اختلاف معنی داری با گروه کنترل ندارد. اما در روشهای Ops و نی معمولی تعداد بلاستوسیستهای در حال خروج از زونا به طور معنی داری کمتر از کنترل و تعداد جنینهای دژنره بیشتر از گروه کنترل است. همچنین بررسی جدول ۱ نشان میدهد که سرعت تکوین جنینها کمتر از کنترل است اما در روش Gps در اغلب موارد اختلاف معنی داری با گروه کنترل دیده نمی شود. علل نتایج فوق را می توان به مزیت نی های کشیده شده نسبت داد. اولاً: این نی ها به علت قطر کم، میزان محلول انجمادی کمتری را جذب می کنند. ثانیاً: دیواره های آن نسبت به نی های معمولی نازکتر است، بنابراین از سرعت سرد شدن ($20/000^{\circ}\text{C}/\text{min}$) و گرم شدن ($180/000^{\circ}\text{C}/\text{min}$) بیشتری نسبت به نی معمولی برخوردارند ($2500^{\circ}\text{C}/\text{min}$). از طرفی به دلیل سرعت بالای سرد و گرم شدن، عبور از منطقه آسیب حرارتی که بین ۱۵ تا ۱۵- درجه سانتی گراد است، خیلی سریعتر صورت می گیرد. بنابراین میزان آسیب سرمایی که گزارش شده در جنینهای قبل از مورولا بسیار زیاد است، به طور قابل توجهی کاهش می یابد (۱۴، ۱۵). احتمالاً درصد پایین تر بقاء و تکوین جنین در روش OPS نسبت به CPS به علت تماس مستقیم جنین با نیتروژن مایع باشد که یک اثر منفی بر جنین دارد.

15(11): 2368-2373

4. Nematollahi N, Rezazadeh Valogerdi M: Effect of Vero cell coculture on the development of frozen-thawed two-cell mouse embryos. J Assi Reprod Gen 1999; 16(7): 380-384
5. Ali J , Shelton JN: Design of vitrification solutions for the cryopreservation of embryos. J Reprod Fert 1993; 99: 471-477
6. Leibo SP, McGrath JJ, Cravalho RG: Microscopic observation of intracellular ice formation in unfertilized

- mouse ova as a function of cooling rate. *Cryobiology* 1978; 15: 257-271
7. Martino A, Songsasen N, Leibo SP: Development in to blastocysts of bovine oocytes cryopreserved by ultrarapid cooling. *Biol Reprod* 1996; 54: 1059-1069
8. Vajta G, Holm P, Kuwayame M, Booth PJ, Jacobsen H, Greve T, Callensen H: Open pulled straw (OPS) vitrification; a new way to reduce cryoinjuries of bovine ova and embryos. *Mol Reprod Dev* 1998; 51: 53-58
9. Chen SU, Lien YR, Chen HF, Chao KH, HO HN, Yang YS: Open pulled straw for vitrification of mature mouse oocytes preserve patterns of meiotic spindles and chromosomes better than conventional straws. *Hum Reprod* 2000; 15: 2598-2603
10. Chen SU, Lien YR, Cheng YY, Chen HF, Ho HN, Yang YS: Vitrification of oocytes using closed pulled straws(CPS) achieves a high survival and preserves good patterns of meiotic spindles, compared with conventional straws, open pulled straws(OPS) and grids. *Hum Reprod* 2001; 16: 2350-2356
11. Lopez BM, Lopez MF: Nonequilibrium cryopreservation of rabbit embryos using a modified (sealed) open pulled straw procedure. *Theriogenology* 2002;58(8):1541-1552
12. Kong IK, Lee SI, Cho SG, Cho SK, Park CS: Comparison of open pulled straw (OPS) vs glass micropipette (GMP) vitrification in mouse blastocysts. *Theriogenology* 2000; 53(9): 1817-1826
13. Lopatarova M, Cech S, Havlicek V, Holy L: Effect of vitrification in open pulled straws on survival of bovine embryos from superovulated cows. *Acta Vet Brno* 2002; 71: 93-99
14. Rall WF, Meyer TK: Zona fracture damage and its avoidance during the cryopreservation of mammalian embryos. *Theriogenology* 1989; 31: 683-692
15. Kasai M, Zhu SE, Pedre PB, Nakamura K, Sakuri T, Edashige K: Fracture damage of embryos and its prevention during vitrification and warming. *Cryobiol* 1996; 33: 459-464
16. O'Neil L, Paynter SJ, Fuller BJ, Shaw RW: Murine oocyte cytoskeletal changes, fertilization and embryonic development following exposure to a vitrification solution. *Cryo-Lett* 1997; 18: 17-26
17. Kasai M: Principles of the cryopreservation of mammalian embryos by vitrification. *Reproductive Biology Update, Out Print* 1998; 414-424
18. Rezazadeh Valojerdi M, Movahedin M, Hosseini A: Improvement of development of vitrified two-cell mouse embryos by vero cell coculture. *J Assi Reprod Gen* 2001;19: 31-38
19. Nowshari MA, Nayuda PI, Hodges JK: Effect of cryoprotectants and their concentration on post-thaw survival and development of rapid thawed pronuclear stage mouse embryos. *Theriogenology* 1998; 50(7): 1001-1013



اثر هورمون های استروئیدی جنسی (۱۷ بتا استرادیول و ۵- آلفا دی هیدرو تستوسترون) بر ترشح نیتریک اکساید توسط ماکروفاژهای ریوی رت تحریک شده با $TGF-\beta$

کازم احمدی Ph.D. ✨، قاسم سلکی M.Sc. ✨

✨ دانشگاه علوم پزشکی بقیه الله، دانشکده پزشکی، گروه ایمونولوژی و مرکز تحقیقات بیولوژی مولکولی

✨ آدرس مکاتبه: تهران صندوق پستی: ۵۴۶-۱۹۹۴۵، دانشکده علوم پزشکی بقیه الله، دانشکده پزشکی، گروه ایمونولوژی

و مرکز تحقیقات بیولوژی مولکولی

پست الکترونیک: Email: kahmadi@bmsu.ac.ir

چکیده

دریافت مقاله: ۸۲/۹/۲۴، پذیرش مقاله: ۸۳/۵/۶

*** هدف:** بررسی اثر ۱۷-بتا استرادیول و ۵-آلفا دی هیدروتستوسترون بر ترشح نیتریک اکساید توسط ماکروفاژهای ریوی تحریک شده با $TGF-\beta$

*** مواد و روشها:** ماکروفاژهای ریوی با روش لاوز ریه از رت های نرسالم با سن ۸-۱۰ هفته به دست آمد. ماکروفاژهای ریوی به تعداد 1×10^5 در یک میلی لیتر محیط کشت RPMI ۱۶۴۰ بدون فنل رد حاوی ۱۰ درصد FCS به هر چاهک پلیت ۲۴ خانه اضافه و به مدت ۲ ساعت در انکوباتور ۳۷ درجه سانتی گراد حاوی ۵ درصد CO_2 انکوبه شدند. پس از مدت مذکور، سلولهای غیر چسبیده (غیر ماکروفاژ) با سه بار شستشو خارج و مجدداً یک میلی لیتر محیط کشت کامل بدون فنل رد، حاوی $LPS 10 \mu g/ml$ و $IFN-\gamma 100 u/ml$ و غلظتهای مختلف هورمونهای ۱۷-بتا استرادیول و یا ۵-آلفا دی هیدروتستوسترون در حضور یا غیاب $TGF-\beta$ را به هر چاهک افزوده و انکوباسیون در شرایط فوق به مدت ۲۴ ساعت دیگر ادامه یافت. سپس مایع رویی را برداشته و پس از سانتریفوژ، مقدار نیتريت موجود در محلول رویی به عنوان اندیکاتوری از نیتریک اکساید به روش گریس اندازه گیری شد.

*** یافته ها:** نتایج نشان داد که ترشح نیتریک اکساید در پاسخ به ۵-آلفا دی هیدروتستوسترون و در حضور $TGF-\beta$ کاهش یافته و حداقل و حداکثر کاهش به ترتیب در پاسخ به 1×10^{-10} و 1×10^{-6} مولار به دست آمد. همچنین نتایج نشان داد که این اثر کاهشی $TGF-\beta$ بر ترشح نیتریک اکساید در پاسخ به هورمون ۱۷-بتا استرادیول بیشتر نمایان بوده به طوری که حداقل ۳۴/۵۲ درصد و حداکثر ۶۸/۵۷ درصد به ترتیب در پاسخ به 1×10^{-11} و 1×10^{-6} مولار به دست آمد.

*** نتیجه گیری:** به نظر می رسد که قسمتی از روند التهاب ریوی که وابسته به $TGF-\beta$ است احتمالاً از طریق نیتریک اکساید اعمال شده و هورمونهای جنسی نیز می تواند در این حالت دخیل باشند.

کل واژگان: ماکروفاژهای ریوی، نیتریک اکساید، ۱۷-بتا استرادیول، ۵-آلفا دی هیدروتستوسترون

نشریه پزشکی باخته، سال ششم، تابستان ۸۳، شماره ۲۲، صفحات ۸۵-۷۵

مقدمه

شده و احتمالاً مسئول فرایند اعمال سایتوکاین ها در ریه باشد (۶). شواهد موجود نشان می دهند که آنزیم نیتریک اکساید سنتتاز در سلولهای اپی تللیال و ماکروفاژهای افراد سالم بروز نیافته ولی در افراد آسمی احتمالاً تحت تاثیر سایتوکاین ها بروز می یابد (۷، ۸). در این رابطه $IL-4$ اولین سایتوکاینی است که نقش آن در مکانیسم تنظیم نیتریک اکساید شناخته شد (۹). با تثبیت اینکه ماکروفاژها اگر قبل از تحریک با LPS و $IFN-\gamma$ در معرض $IL-4$ قرار گیرند، قادر به کشتن انگل لیشمانیا نیستند، نقش مهار $IL-4$ بیشتر مشخص گردید (۱۰، ۱۱). همچنین مطالعات نشان داده اند که $TGF-\beta$ اثر مهارى بر ترشح نیتریک اکساید داشته (۱۲) در حالی که فاکتور مهار کننده مهاجرت (MIF) اثر افزایشی بر ترشح آن دارد

ماکروفاژهای ریوی با ترشح مواد پیش التهابی، مولکولهای تنظیم کننده ایمنی، پردازش آنتی ژن، تجمع فیبرین، فاگوسیتوز، ترشح مواد وابسته به اکسیژن نظیر سوپر اکساید (۱) و نیتروژن (نیتریک اکساید) (۲، ۳) نقش مهمی را در دفاع میزبان به عهده دارد. نیتریک اکساید علاوه بر دفاع غیر اختصاصی علیه پاتوژنهای استنشاقی، نقش مهمی در آسیب ریوی نیز به عهده دارد (۴). به منظور سنتز و ترشح نیتریک اکساید، آرژنین به عنوان سوبسترا برای آنزیم نیتریک اکساید سنتتاز مورد نیاز است. فعالیت این آنزیم در ماکروفاژها و سلولهای ایمنی وابسته به تحریک با ماده محرکی مثل LPS و $IFN-\gamma$ (۵) است. از طرفی علاوه بر نقشی که نیتریک اکساید در دفاع میزبان دارد، افزایش ترشح آن ممکن است منجر به گشادی عروق، ادم و سایتوتوکسیستیتی

TGF- β انجام گرفت. پس از به دست آوردن غلظت مناسب TGF- β در آزمایشات بعدی محیط کشت کامل RPMI ۱۶۴۰ حاوی ۱۰ درصد FCS مقدار کافی آنتی بیوتیک و $10 \mu\text{g/ml}$ LPS (۱۴) و 100 U/ml IFN- γ و ۱۷-بتا استرادیول و یا ۵-آلفا دی هیدروتستوسترون با غلظتهای 10^{-6} الی 10^{-12} مولار در حضور یا غیاب ۱۰۰ واحد TGF- β به هر چاهک اضافه و پلیت ها به مدت ۲۴ ساعت مجددا در شرایط فوق انکوبه شدند. سپس مایع رویی را برداشته و پس از سانتریفوژ نمودن مقدار نیتريت به عنوان اندیکاتوری از نیتريك اكساید با روش گریس (۲۳) اندازه گیری شد. بدین منظور مقدار ۵۰ میکرولیتر از مایع رویی به علاوه ۵۰ میکرولیتر از محلول گریس (سولفانیل آمید ۱ درصد در اسید فسفریک ۲/۵ درصد، N - نفتیل اتیل دی آمین دی هیدرو کلراید ۰/۱ درصد) مخلوط و به مدت ۱۰ دقیقه در حرارت اتاق قرار گرفت. میزان جذب نوری به وسیله دستگاه الیزا ریدر (Multiskan) در طول موج ۵۴۰ نانومتر قرائت شد. غلظت نیتريت موجود در مایع رویی، پس از رسم منحنی استاندارد مربوط به غلظت های مختلف نیتريت سدیم، محاسبه شد (۲۳).

نتایج به دست آمده با استفاده از نرم افزار SPSS و روش آماری Npar Test (Mann-Whitney) تجزیه و تحلیل آماری شد.

یافته‌ها

نتایج نشان داد که TGF- β اثر کاهشی بر ترشح نیتريك اكساید داشته و حداکثر کاهش در پاسخ به 160 U/ml TGF- β به دست آمد (نمودار ۱) لذا پس از سه بار تکرار آزمایش غلظت مناسب (اپتیمم) ۱۰۰ واحد در آزمایشات بعدی استفاده گردید. همچنین مشخص شد که ۱۷-بتا استرادیول رهایش نیتريك اكساید توسط ماکروفاژهای ریوی را کاهش داده به طوری که حداقل و حداکثر کاهش به ترتیب در پاسخ به 10^{-6} و 10^{-10} مولار ایجاد شد ($p < 0.05$) (نمودار ۲). این کاهش در حضور ۱۰۰ واحد TGF- β بیشتر بود ($p < 0.05$) (نمودار ۳، جدول ۱). به طور مثال جدول یک نشان می دهد که مقدار نیتريك اكساید در پاسخ به ۱۰۰ واحد TGF- β به مقدار ۳۰/۹۵ درصد کاهش و در حضور ۱ نانومولار ۱۷ بتا استرادیول ۱۲/۸۵ درصد کاهش داشته است.

جدول ۱: کاهش ترشح نیتريك اكساید (بر حسب درصد) تحت غلظتهای مختلف هورمون ۱۷ - بتا استرادیول تنها یا استفاده توأم از ۱۰۰ واحد TGF-beta و غلظتهای مختلف هورمون ۱۷ - بتا استرادیول

کاهش %		غلظت هورمون بر حسب مولار
۱۷-بتا استرادیول و TGF-beta (توأم)	۱۷-بتا استرادیول (فقط)	
۳۰/۹۵	۰۰	1×10^{-12}
۳۴/۵۲	۱/۱۹	1×10^{-11}
۴۰	۷/۱۴	1×10^{-10}
۴۳/۸۰	۱۲/۸۵	1×10^{-9}
۵۰/۷	۱۹/۰۴	1×10^{-8}
۶۴/۲۸	۳۲/۸۵	1×10^{-7}
۶۸/۵۷	۳۶/۹۰	1×10^{-6}

(۱۳). مطالعات نشان داده که چنانچه ماکروفاژها بطور توأم در معرض rMIF و IL-10 قرار گیرند، IL-10 باعث توقف اثر کشندگی rMIF بر انگل لیشتامینای داخل منوسیت های انسانی شده و باعث توقف ترشح نیتريك اكساید می شود (۱۴). مطالعات دیگر نشان داده که هورمونهای استروئیدی جنسی نیز در حالت وابسته به دوز، ترشح نیتريك اكساید و همچنین سایتوکاینهای واسطه را در هر دو جنس نر و ماده تنظیم می کنند (۱۵، ۱۶، ۱۷، ۱۸، ۱۹، ۲۰).

Moncada نیز (۲۱) گزارش نمود که نیتريك اكساید در بیماریهای التهابی نقش داشته و افزایش مقدار نیتريت در مایع سینوویال و سرم بیماران روماتوئیدی تایید شده است (۲۲). به نظر می رسد که عمل نیتريك اكساید در این فرایند وابسته به نقش آن در مکانیسم های سایتوتوکسیک ماکروفاژهای فعال شده و اثرات ضد تکثیر سلولی آن باشد.

هدف از این تحقیق، این بود که بدانیم آیا ترشح نیتريك اكساید توسط ماکروفاژهای ریوی در پاسخ به هورمونهای جنسی استروئیدی در حضور یا غیاب TGF- β تغییر می یابد؟

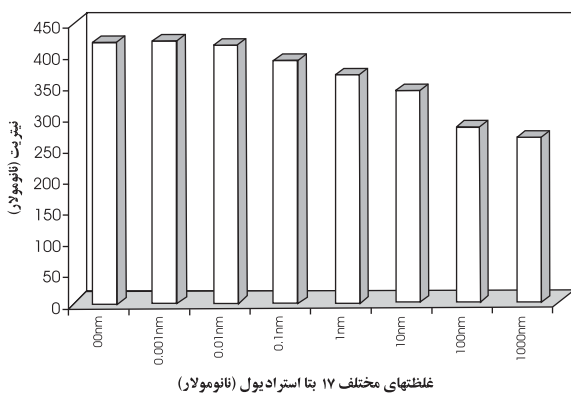
مواد و روشها

ماکروفاژهای ریوی با روش لاواژ ریه به دست آمد. برای این کار حیوان به وسیله ماده بیهوش کننده کشته و ۱۰ میلی لیتر PBS سرد از طریق نای به داخل ریه تزریق شد. پس از اسپیره کردن مایع حاوی سلول، نمونه ها با دور ۳۰۰۰ g به مدت ۱۰ دقیقه سانتریفوژ و رسوب سلولی به این طریق سه مرتبه شستشو داده شد. پس از شمارش ماکروفاژها، سوسپانسیون سلولی به تعداد 1×10^5 ماکروفاژ در میلی لیتر محلول متشکل از محیط RPMI ۱۶۴۰ بدون فنل رد و حاوی ۱۰ درصد FCS و 16 mg/ml پنی سیلین به حجم یک میلی لیتر به هر چاهک پلیت ۲۴ خانه اضافه گردید.

سلولها به مدت ۲ ساعت در انکوباتور ۳۷ درجه سانتی گراد و ۵ درصد CO_2 در هوا انکوبه شده و پس از آن مایع رویی را برداشته و سه بار با PBS گرم ۳۷ درجه سانتی گراد شستشو داده تا سلولهای غیر ماکروفاژی از پلیت برداشته شود. مقدار یک میلی لیتر ۱۶۴۰ RPMI حاوی ۱۰ درصد FCS، مقدار کافی آنتی بیوتیک و $10 \mu\text{g/ml}$ LPS (۱۴) و 100 U/ml IFN- γ به هر چاهک افزوده گردید. به منظور به دست آوردن غلظت مناسب TGF- β مورد استفاده ابتدا آزمایش در حضور غلظتهای مختلف

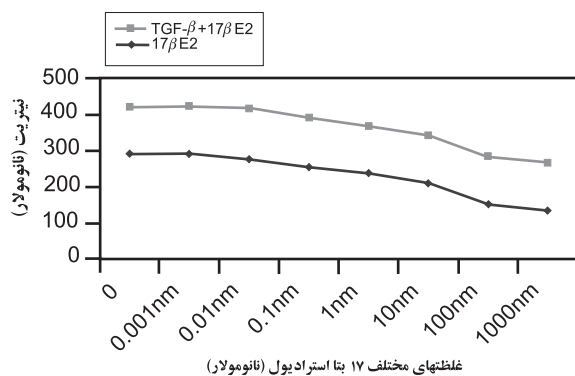
جدول ۲: افزایش ترشح نیتریک اکساید (بر حسب درصد) تحت غلظتهای مختلف هورمون ۵-آلفا دی هیدروتستوسترون تنها یا استفاده توام از ۱۰۰ واحد TGF-beta و غلظتهای مختلف هورمون ۵-آلفا دی هیدروتستوسترون

غلظت هورمون بر حسب مولار	۵-آلفا دی هیدروتستوسترون (فقط)	۵-آلفا دی هیدروتستوسترون و TGF-beta (توام)
1×10^{-12}	۴/۲۸	۲/۸۵ (کاهش)
1×10^{-11}	۷/۱۴	۰۰
1×10^{-10}	۱۶/۶۶	۴/۷۶
1×10^{-9}	۳۸/۰۹	۲۸/۵۷
1×10^{-8}	۵۲/۳۸	۴۰/۴۷
1×10^{-7}	۷۸/۰۹	۶۶/۶۶
1×10^{-6}	۹۱/۶۶	۸۵/۷۱



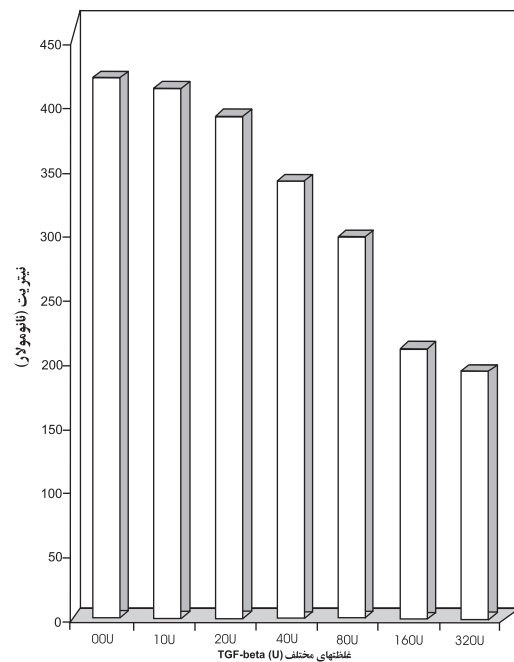
نمودار ۲: اثر ۱۷-بتا استرادیول بر ترشح نیتریک اکساید توسط ماکروفاژهای ریوی

در حالی که وقتی این دو به صورت توام استفاده شد مقدار کاهش به ۴۳/۸ درصد رسیده است. نتایج حاصل از اثر ۵-آلفا دی هیدروتستوسترون نشان داد که TGF-β اثر افزایشی هورمون فوق را در رهایش نیتریک اکساید کاهش داده است (نمودار ۴، ۵، ۶). حداقل و حداکثر کاهش به ترتیب در پاسخ به 1×10^{-10} و 1×10^{-6} مولار هورمون مردانه ایجاد شد ($P < 0.02$). جدول ۲ اثر افزایشی ۵-آلفا دی هیدروتستوسترون را در حضور یا غیاب TGF-β به صورت درصد نشان می‌دهد. به طور مثال ۵-آلفا دی هیدروتستوسترون در غلظت 1×10^{-12} مولار افزایش ۴/۲۸ درصدی را در ترشح نیتریک اکساید داشته و در همین غلظت در حضور TGF-β کاهش ۲/۸۵ درصد را داشته است (جدول ۲).



نمودار ۳: اثر غلظتهای مختلف ۱۷-بتا استرادیول بر ترشح نیتریک اکساید توسط ماکروفاژهای ریوی در حضور یا عدم حضور مقدار ثابت TGF-β

در حالی که در حضور TGF-β تنها، کاهش برابر با ۳۰/۹۵ درصد بوده است. در غلظت 1×10^{-11} مولار اثر افزایشی ۵-آلفا دی هیدروتستوسترون و اثر مهارتی TGF-β برتری کرده و تغییری در سطح نیتریک اکساید مشاهده نمی‌شود (جدول ۲).



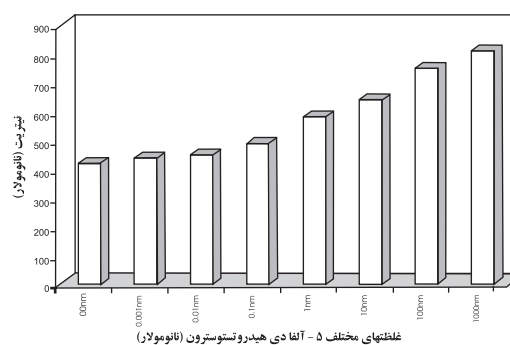
نمودار ۱: اثر ۱-اثر TGF-β بر ترشح نیتریک اکساید توسط ماکروفاژهای ریوی

استروئیدی بر ترشح نیتریک اکساید توسط ماکروفاژهای ریوی در حضور یا غیاب $TGF-\beta$ مورد مطالعه قرار گرفت. همان طور که در نمودار ۳ نشان داده شده، هورمون زنانه ۱۷-بتا استرادیول که خود به تنهایی قادر به کاهش ترشح نیتریک اکساید توسط ماکروفاژهای صفاقی موش بوده است، وقتی به صورت توام با $TGF-\beta$ استفاده شد توانسته باعث کاهش بیشتری در ترشح این رادیکال آزاد توسط ماکروفاژهای ریوی رت شود (جدول ۱). نتایج حاصل از این تحقیق با یافته‌های دیگران همخوانی داشته (۱۵، ۲۲) با این تفاوت که نوع ماکروفاژها در اینجا ریوی بوده و از اهمیت بیشتری برخوردار است.

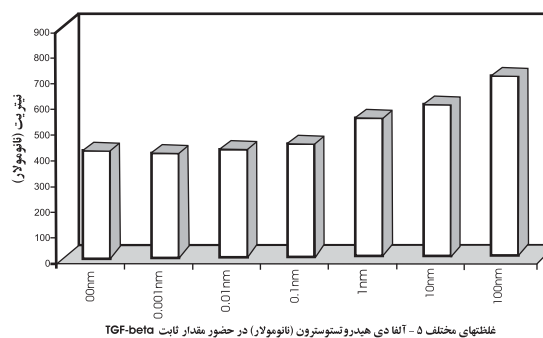
تجربیات قبلی ما نشان داد که ۵-آلفا دی هیدروتستوسترون باعث افزایش ترشح نیتریک اکساید می‌شود (۱۵، ۲۷). در این مطالعه نتایج نشان داد که $TGF-\beta$ همچنین قادر بوده است باعث کاهش اثر افزایشی ۵-آلفا دی هیدروتستوسترون بر ترشح نیتریک اکساید شود (نمودار ۴، جدول ۲). ولی اثر کاهشی $TGF-\beta$ ضعیف‌تر از اثر افزایشی ۵-آلفا دی هیدروتستوسترون بر ترشح آن بوده به طوری که $TGF-\beta$ نتوانسته اثر افزایشی را به طور کامل مسدود و مقدار ترشح آن را به کمتر یا حداقل مساوی با مقدار ترشح آن در گروه کنترل (۴۲۰ نانو مول در هر چاهک) برساند. بلکه فقط توانسته با اثر افزایشی آن مقابله و ترشح آن را به کمتر از حد ماکزیم برساند. نظر به اینکه نیتریک اکساید یکی از مواد دخیل در فرآیندهای التهابی است (۲۱)، و معمولاً از داروهای استروئیدی جهت جلوگیری از التهاب استفاده می‌شود، لذا اثرات هورمونهای استروئیدی در این حالت به خاصیت ضد التهابی آنها بر می‌گردد. از طرفی گزارشات نشان داده که نیتریک اکساید احتمالاً در فرآیند ضایعات ریوی خصوصاً فیروز نقش دارد (۲۸). لذا با توجه به نقش تثبیت شده $TGF-\beta$ در فرآیند فیروز ریه (۲۹) و اثرات مثبت $IFN-\gamma$ در بهبود ضایعات ریوی ناشی از $TGF-\beta$ می‌توان ارتباط این سایتوکاینها با ترشح نیتریک اکساید را نشان داد.

چون $IFN-\gamma$ از یک طرف باعث افزایش ترشح نیتریک اکساید توسط ماکروفاژهای صفاقی (۱۵) و ریوی می‌شود و از طرفی نشان داده شده که تجویز این فاکتور باعث بهبود روند التهاب در ریه و جلوگیری از پیشرفت فیروز ریه می‌شود. این در حالی است که $TGF-\beta$ از یک طرف باعث کاهش ترشح نیتریک اکساید توسط ماکروفاژهای ریوی در *in vitro* گردیده و از طرف دیگر در *in vivo* باعث افزایش روند التهاب در ریه شده و $IFN-\gamma$ مخالف آن عمل می‌نماید (۲۸، ۲۹). لذا می‌توان پیشنهاد کرد که احتمالاً اثر این دو سایتوکاین در روند التهاب از طریق ترشح نیتریک اکساید صورت می‌گیرد. همچنین در *in vivo* به دلیل تداخل سایتوکاینهای مترشحه از سلولهای T اثرات $TGF-\beta$ بر ترشح نیتریک اکساید با اثر آن در *in vitro* احتمالاً متفاوت است.

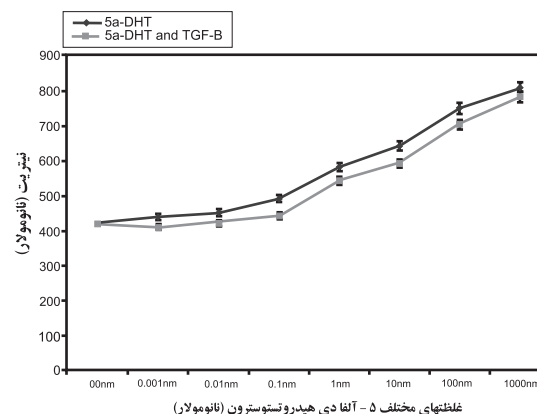
اثر هورمونهای جنسی در این فرایند از آن جهت حائز اهمیت است که تا کنون گزارشی مبنی بر تفاوت جنسی در فرآیند ضایعات



نمودار ۴: اثر ۵-آلفا دی هیدروتستوسترون بر ترشح نیتریک اکساید توسط ماکروفاژهای ریوی



نمودار ۵: TGF-beta باعث کاهش اثر ۵-آلفا دی هیدروتستوسترون بر ترشح نیتریک اکساید توسط ماکروفاژهای ریوی شد



نمودار ۶: اثر ۵-آلفا دی هیدروتستوسترون بر ترشح نیتریک اکساید توسط ماکروفاژهای ریوی در حضور یا عدم حضور مقدار ثابت TGF-beta

بحث

مطالعات قبلی نشان داده که ۱۷-بتا استرادیول باعث کاهش ترشح نیتریک اکساید توسط ماکروفاژهای صفاقی می‌شود در حالی که ۵-آلفا دی هیدروتستوسترون باعث افزایش ترشح آن می‌گردد (۱۵، ۲۴، ۲۵، ۲۶، ۲۷) همچنین Dind و همکارانش (۱۲) نشان دادند که $TGF-\beta$ بر ترشح نیتریک اکساید اثر مهاری دارد در حالی که $IFN-\gamma$ اثر افزایشی دارد. در این مطالعه اثر هورمونهای جنسی